



14A、650V N沟道增强型场效应管

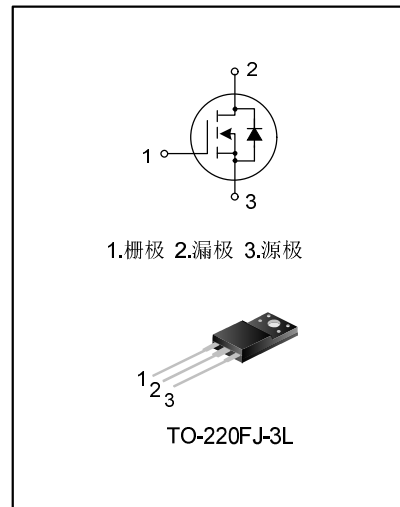
描述

SVF14N65CFJ N 沟道增强型高压功率 MOS 场效应晶体管采用士兰微电子的 F-Cell™ 平面高压 VDMOS 工艺技术制造。先进的工艺及原胞结构使得该产品具有较低的导通电阻、优越的开关性能及很高的雪崩击穿耐量。

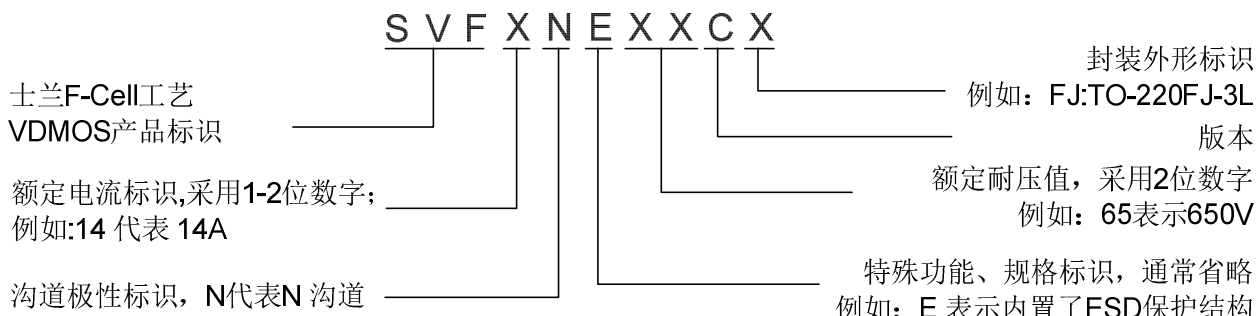
该产品可广泛应用于 AC-DC 开关电源，DC-DC 电源转换器，高压 H 桥 PWM 马达驱动。

特点

- 14A, 650V, $R_{DS(on)}$ (典型值) = 0.6Ω @ $V_{GS}=10V$
- 低栅极电荷量
- 低反向传输电容
- 开关速度快
- 提升了 dv/dt 能力



命名规则



产品规格分类

| 产品名称 | 封装形式 | 打印名称 | 环保等级 | 包装 |
|-------------|-------------|----------|------|----|
| SVF14N65CFJ | TO-220FJ-3L | 14N65CFJ | 无卤 | 料管 |

极限参数(除非特殊说明, $T_c=25^\circ C$)

| 参数名称 | 符号 | 参数范围 | 单位 |
|---|-----------|----------|---------------|
| 漏源电压 | V_{DS} | 650 | V |
| 栅源电压 | V_{GS} | ± 30 | V |
| 漏极电流 $T_c=25^\circ C$ | I_D | 14 | A |
| $T_c=100^\circ C$ | I_D | 8.9 | |
| 漏极脉冲电流 | I_{DM} | 56 | A |
| 耗散功率 ($T_c=25^\circ C$) - 大于 $25^\circ C$ 每摄氏度减少 | P_D | 45 | W |
| | | 0.36 | W/ $^\circ C$ |
| 单脉冲雪崩能量 (注 1) | E_{AS} | 820 | mJ |
| 工作结温范围 | T_J | -55~+150 | $^\circ C$ |
| 贮存温度范围 | T_{stg} | -55~+150 | $^\circ C$ |

热阻特性

| 参数名称 | 符号 | 参数范围 | 单位 |
|----------|-----------------|------|--------------|
| 芯片对管壳热阻 | $R_{\theta JC}$ | 2.78 | $^\circ C/W$ |
| 芯片对环境的热阻 | $R_{\theta JA}$ | 62.5 | $^\circ C/W$ |

电气参数(除非特殊说明, $T_c=25^\circ C$)

| 参数名称 | 符号 | 测试条件 | 最小值 | 典型值 | 最大值 | 单位 |
|----------|--------------|---|-----|-------|-----------|----------|
| 漏源击穿电压 | BV_{DSS} | $V_{GS}=0V, I_D=250\mu A$ | 650 | -- | -- | V |
| 漏源漏电流 | I_{DSS} | $V_{DS}=650V, V_{GS}=0V$ | -- | -- | 1.0 | μA |
| 栅源漏电流 | I_{GSS} | $V_{GS}=\pm 30V, V_{DS}=0V$ | -- | -- | ± 100 | nA |
| 栅极开启电压 | $V_{GS(th)}$ | $V_{GS}=V_{DS}, I_D=250\mu A$ | 2.0 | -- | 4.0 | V |
| 导通电阻 | $R_{DS(on)}$ | $V_{GS}=10V, I_D=7.0A$ | -- | 0.60 | 0.70 | Ω |
| 输入电容 | C_{iss} | $V_{DS}=25V, V_{GS}=0V,$ $f=1.0MHz$ | -- | 1670 | -- | pF |
| 输出电容 | C_{oss} | | -- | 169 | -- | |
| 反向传输电容 | C_{rss} | | -- | 6.2 | -- | |
| 开启延迟时间 | $t_{d(on)}$ | $V_{DD}=325V, I_D=14A,$ $R_G=24\Omega$ | -- | 25.80 | -- | ns |
| 开启上升时间 | t_r | | -- | 44.60 | -- | |
| 关断延迟时间 | $t_{d(off)}$ | | -- | 88.53 | -- | |
| 关断下降时间 | t_f | | -- | 44.40 | -- | |
| 栅极电荷量 | Q_g | $V_{DS}=520V, I_D=14A,$ $V_{GS}=10V$ | -- | 32.5 | -- | nC |
| 栅极-源极电荷量 | Q_{gs} | | -- | 11.6 | -- | |
| 栅极-漏极电荷量 | Q_{gd} | | -- | 12.3 | -- | |



源-漏二极管特性参数

| 参数名称 | 符号 | 测试条件 | 最小值 | 典型值 | 最大值 | 单位 |
|----------|----------|----------------------------|-----|------|-----|---------|
| 源极电流 | I_S | MOS 管中源极、漏极构成的反偏 P-N 结 | -- | -- | 14 | A |
| 源极脉冲电流 | I_{SM} | | -- | -- | 56 | |
| 源-漏二极管压降 | V_{SD} | $I_S=14A, V_{GS}=0V$ | -- | -- | 1.3 | V |
| 反向恢复时间 | T_{rr} | | -- | 570 | -- | |
| 反向恢复电荷 | Q_{rr} | $dI_F/dt=100A/\mu s$ (注 2) | -- | 6.01 | -- | μC |

注:

1. $L=30mH, I_{AS}=6.66A, V_{DD}=100V, R_G=25\Omega$, 开始温度 $T_J=25^{\circ}C$;
2. 脉冲测试: 脉冲宽度 $\leq 300\mu s$, 占空比 $\leq 2\%$;
3. 基本上不受工作温度的影响。

典型特性曲线

图1. 输出特性

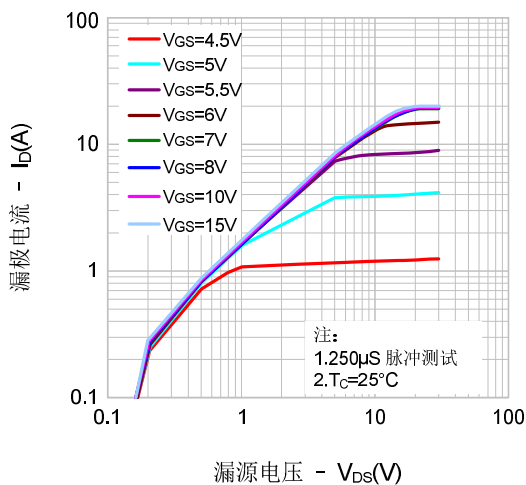


图2. 传输特性

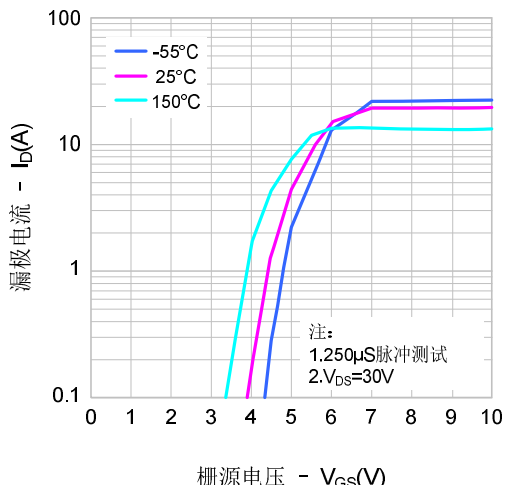


图3. 导通电阻vs.漏极电流

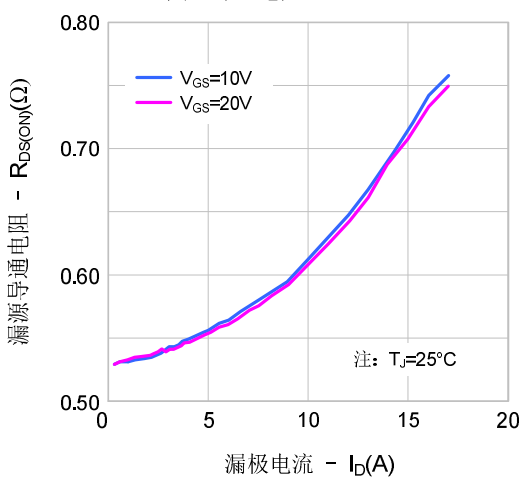
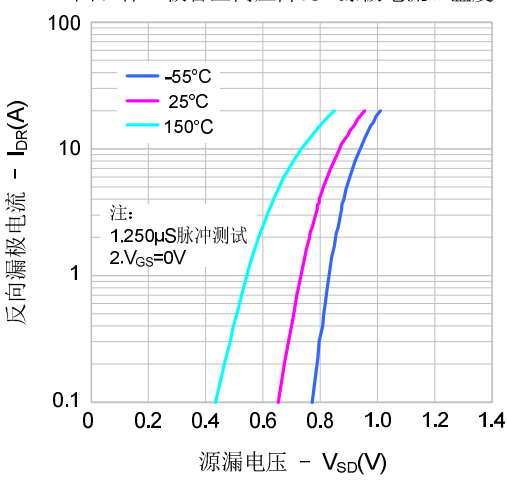


图4. 体二极管正向压降vs. 源极电流、温度





典型特性曲线（续）

图5. 电容特性

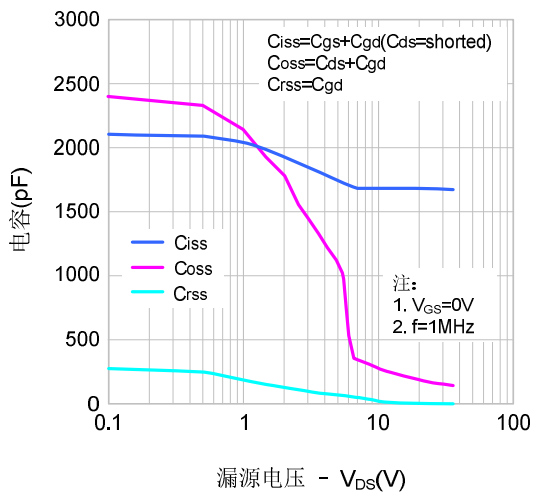


图6. 电荷量特性

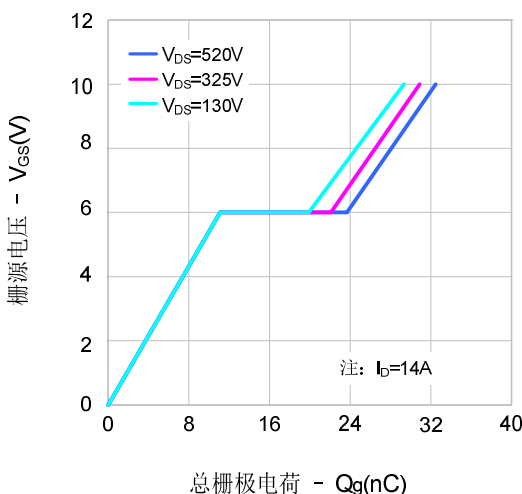


图7. 击穿电压vs.温度特性

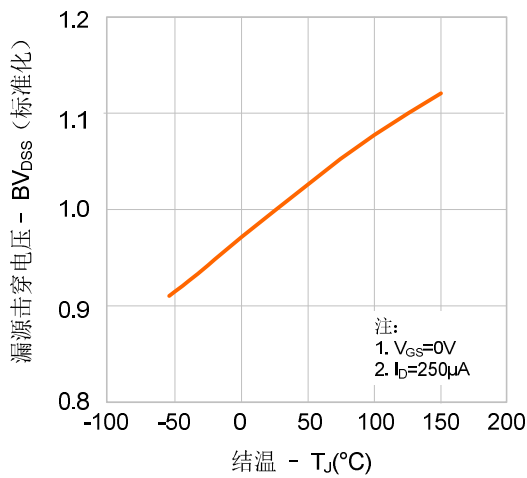


图8. 导通电阻vs.温度特性

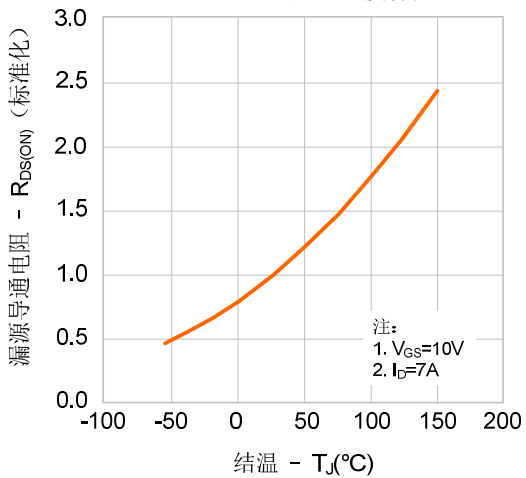


图9. 最大安全工作区域

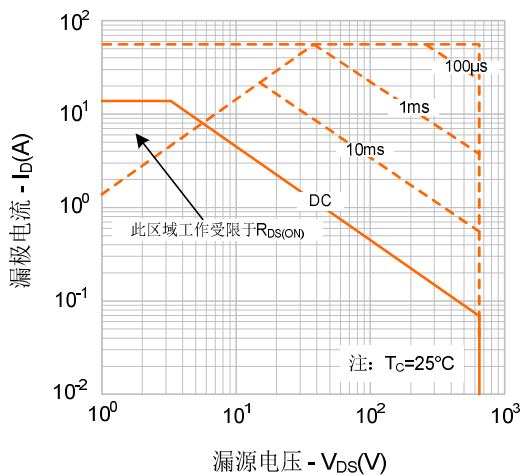
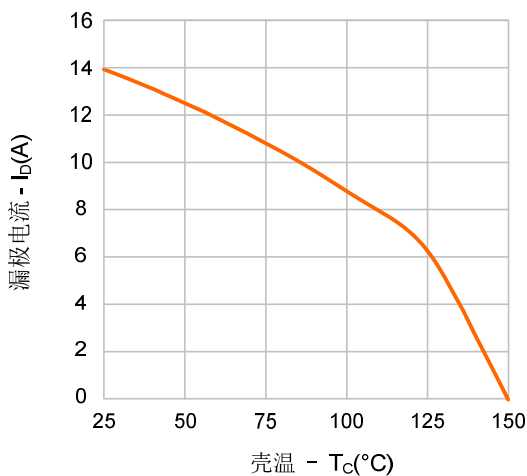


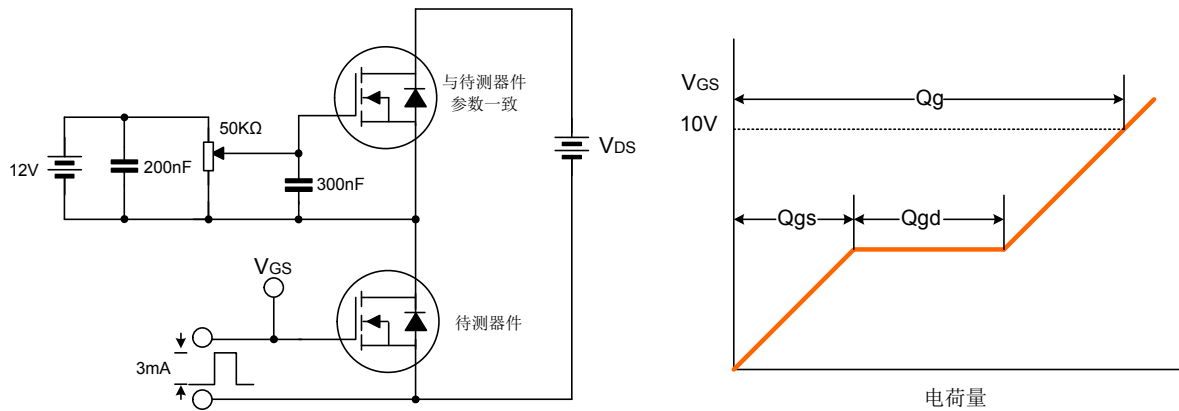
图10. 最大漏极电流vs.壳温



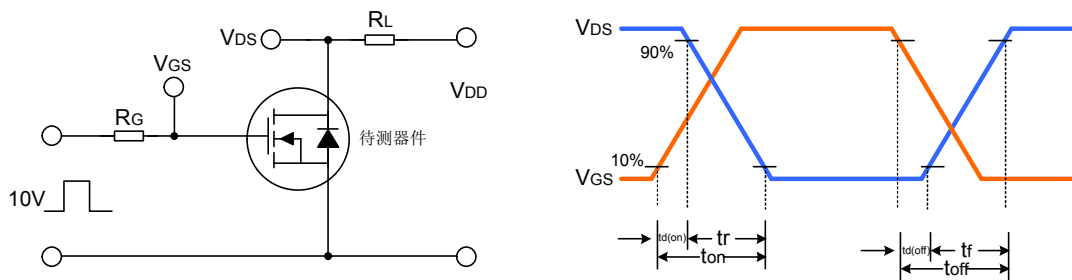


典型测试电路

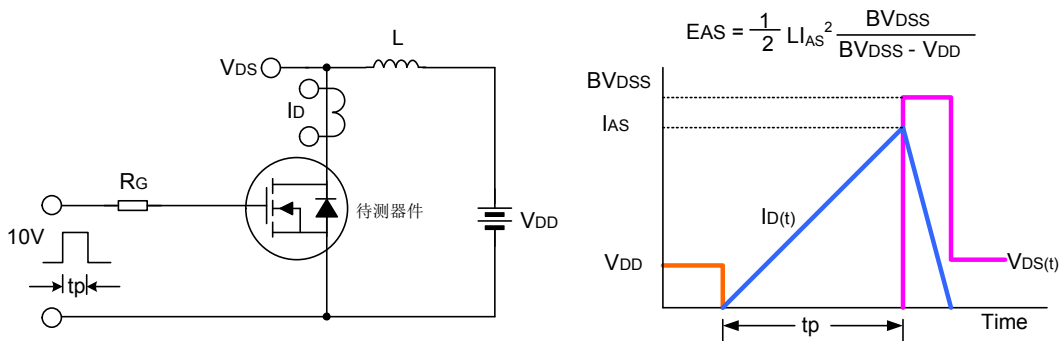
栅极电荷量测试电路及波形图



开关时间测试电路及波形图



EAS测试电路及波形图

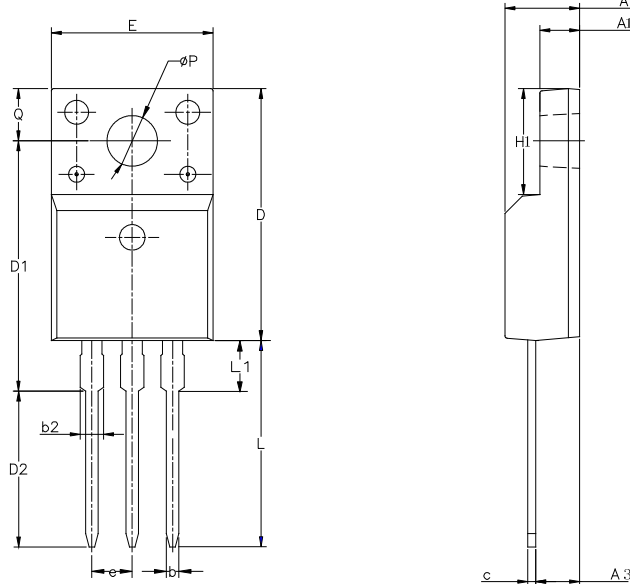




封装外形图

TO-220FJ-3L

单位: mm



| SYMBOL | MIN | NOM | MAX |
|--------|---------|-------|-------|
| A | 4.42 | 4.70 | 5.02 |
| A1 | 2.30 | 2.54 | 2.80 |
| A3 | 2.50 | 2.76 | 3.10 |
| b | 0.55 | 0.70 | 0.85 |
| b2 | — | — | 1.29 |
| c | 0.35 | 0.50 | 0.65 |
| D | 15.25 | 15.87 | 16.25 |
| D1 | 13.97 | 14.47 | 14.97 |
| D2 | 10.58 | 11.08 | 11.58 |
| E | 9.73 | 10.16 | 10.36 |
| e | 2.54BCS | | |
| H1 | 6.40 | 6.68 | 7.00 |
| L | 12.48 | 12.98 | 13.48 |
| L1 | — | — | 2.00 |
| øP | 3.00 | 3.18 | 3.40 |
| Q | 3.05 | 3.30 | 3.55 |

声明:

- 士兰保留说明书的更改权，恕不另行通知！客户在下单前应获取最新版本资料，并验证相关信息是否完整和最新。
- 任何半导体产品特定条件下都有一定的失效或发生故障的可能，买方有责任在使用 Silan 产品进行系统设计和整机制造时遵守安全标准并采取安全措施，以避免潜在失败风险可能造成人身伤害或财产损失情况的发生！
- 产品提升永无止境，我公司将竭诚为客户提供更优秀的产品！



士兰微电子

SVF14N65CFJ 说明书

产品名称: SVF14N65CFJ

文档类型: 说明书

版 权: 杭州士兰微电子股份有限公司

公司主页: <http://www.silan.com.cn>

版 本: 1.0

修改记录:

1. 正式发布版本
-

X-ON Electronics

Largest Supplier of Electrical and Electronic Components

Click to view similar products for MOSFET category:

Click to view products by Silan manufacturer:

Other Similar products are found below :

[614233C](#) [648584F](#) [MCH3443-TL-E](#) [MCH6422-TL-E](#) [FDPF9N50NZ](#) [FW216A-TL-2W](#) [FW231A-TL-E](#) [APT5010JVR](#) [NTNS3A92PZT5G](#)
[IRF100S201](#) [JANTX2N5237](#) [2SK2464-TL-E](#) [2SK3818-DL-E](#) [FCA20N60_F109](#) [FDZ595PZ](#) [STD6600NT4G](#) [FSS804-TL-E](#) [2SJ277-DL-E](#)
[2SK1691-DL-E](#) [2SK2545\(Q,T\)](#) [D2294UK](#) [405094E](#) [423220D](#) [MCH6646-TL-E](#) [TPCC8103,L1Q\(CM](#) [367-8430-0972-503](#) [VN1206L](#)
[424134F](#) [026935X](#) [051075F](#) [SBVS138LT1G](#) [614234A](#) [715780A](#) [NTNS3166NZT5G](#) [751625C](#) [873612G](#) [IRF7380TRHR](#)
[IPS70R2K0CEAKMA1](#) [RJK60S3DPP-E0#T2](#) [RJK60S5DPK-M0#T0](#) [APT5010JVFR](#) [APT12031JFLL](#) [APT12040JVR](#) [DMN3404LQ-7](#)
[NTE6400](#) [JANTX2N6796U](#) [JANTX2N6784U](#) [JANTXV2N5416U4](#) [SQM110N05-06L-GE3](#) [SIHF35N60E-GE3](#)